

## СТРАНИЧКА МОЛОДОГО УЧЕНОГО

УДК (665.61+665.62)547.83

DOI: 10.15372/KhUR20170314

# Азоторганические основания высокопарафинистой нефти и полученного из нее асфальтосмолопарафинового отложения

А. М. АЮРОВА, Н. Н. ГЕРАСИМОВА

Институт химии нефти Сибирского отделения РАН,  
Томск, Россия

E-mail: dm@ipc.tsc.ru

(Поступила 05.04.16; после доработки 24.05.17)

### Аннотация

Будучи природными поверхностно-активными веществами, азоторганические основания влияют на поведение нефтяной дисперсной системы в условиях пласта и при техногенном воздействии на нефтяные флюиды. В этой связи характеристики основных соединений высокопарафинистых нефтей и образующихся асфальтосмолопарафиновых отложений важны для понимания участия этих соединений в образовании органических отложений. В работе изучены распределение и состав азоторганических оснований в высокопарафинистой нефти и в полученной из нее в лабораторных условиях модели асфальтосмолопарафинового отложения. С использованием методов осаждения, экстракции и жидкостно-адсорбционной хроматографии на импрегнированных сорбентах из нефти и осадка выделены концентраты высоко- и низкомолекулярных оснований. Среди азоторганических оснований высокопарафинистой нефти преобладают высокомолекулярные соединения с сильно развитым алкильным обрамлением. Доля таких соединений в осадке выше, чем в нефти, что указывает на их преимущественное участие в формировании отложений. Состав выделенных оснований охарактеризован методами ИК- и  $^1\text{H}$  ЯМР-спектроскопии, хромато-масс-спектрометрии. По данным структурно-группового анализа, средние молекулы азоторганических оснований нефти и осадка состоят из полициклических ядер, включающих ароматические и насыщенные циклы с различным алкильным обрамлением. В средних молекулах высокомолекулярных оснований с сильно развитым алкильным замещением (число алкильных атомов углерода  $C_n = 29\text{--}32$ ) может содержаться 2–3 ароматических и 4–5 насыщенных циклов. Слабоалкилированные ( $C_n = 3\text{--}5$ ) высокомолекулярные основания более цикличны за счет развития как ароматических ( $K_a = 6\text{--}9$ ), так и нафтеновых колец ( $K_h = 10\text{--}13$ ). Алкильные заместители в структуре их средних молекул представлены только метильными группами. В соответствии с результатами хромато-масс-спектрометрического исследования состав низкомолекулярных оснований нефти и асфальтосмолопарафинового отложения характеризуется одинаковыми наборами алкилзамещенных хинолинов, бензо-, дibenзохинолинов и азапиренов, среди которых доминируют алкилбензохинолины.

**Ключевые слова:** высокопарафинистая нефть, асфальтосмолопарафиновое отложение, азоторганические основания, содержание, состав, ИК- и  $^1\text{H}$  ЯМР-спектроскопия, хромато-масс-спектрометрия

### ВВЕДЕНИЕ

Увеличение доли высокопарафинистых нефтей в общем объеме запасов жидких уг-

леводородов ставит перед нефтяной отраслью ряд сложных задач, связанных с созданием новых технологий рационального использования такого нетрадиционного сырья [1]. Высо-

кая концентрация твердых парафинов способствует их выпадению из нефтяного раствора и образованию, совместно со смолами и асфальтенами, асфальтосмолопарафиновых отложений (АСПО), которые снижают эффективность технологий, применяемых для добычи и транспорта нефти [2]. При разработке способов борьбы с АСПО необходима информация о химической природе компонентов осадка и нефти, из которых они получены. Известно, что в смолистых веществах сосредоточена основная масса гетероатомных соединений нефти, в частности, азоторганических оснований (АО), которые являются природными поверхностно-активными веществами и оказывают существенное влияние на поведение нефтяной дисперсной системы в условиях пласта и при техногенном воздействии на нефтяные флюиды [3–5]. В этой связи изучение характеристик АО высокопарафинистых нефтей и образующихся в них АСПО важно для понимания роли этих соединений в образовании органических отложений. В настоящей работе представлены результаты исследования состава и распределения АО в высокопарафинистой нефти и образованном из нее АСПО.

### ЭКСПЕРИМЕНТАЛЬНАЯ ЧАСТЬ

Исследованы образцы типичной высокопарафинистой нефти Западной Сибири и АСПО,

ТАБЛИЦА 1

Характеристика объектов исследования

Объекты	Содержание, мас. %				
	П	Асфальтены	Смолы	N <sub>общ</sub>	N <sub>осн</sub>
Нефть	9.2	1.2	6.5	0.26	0.017
АСПО	22.9	1.3	9.5	0.30	0.034

полученного из нее в лабораторных условиях методом холодного стержня (выход 17.5 мас. %) [6]. Из данных табл. 1 следует, что нефть и АСПО практически не различаются по содержанию асфальтенов. Органическое отложение отличается более высоким содержанием парафинов (П), смолистых компонентов, общего (N<sub>общ</sub>) и основного (N<sub>осн</sub>) азота.

Азоторганические основания выделяли из деасфальтенизованных образцов нефти и АСПО в соответствии со схемой (рис. 1), включающей осаждение высокомолекулярных оснований газообразным хлористым водородом (К-1), экстракцию низкомолекулярных АО уксуснокислым раствором серной кислоты (К-2) и концентрирование высокомолекулярных АО, не осаждаемых хлороводородом, методом жидкостно-адсорбционной хроматографии на оксидах кремния, импрегнированном соляной кислотой (К-3) [7, 8]. Соединения К-1 разделяли методом экстракции на растворимые (K-1<sup>ГР</sup>) и не растворимые (K-1<sup>ГНР</sup>) в гексане компоненты [9], соединения К-2 – методом жидкостно-адсорбционной хроматографии на оксидах кремния, модифи-

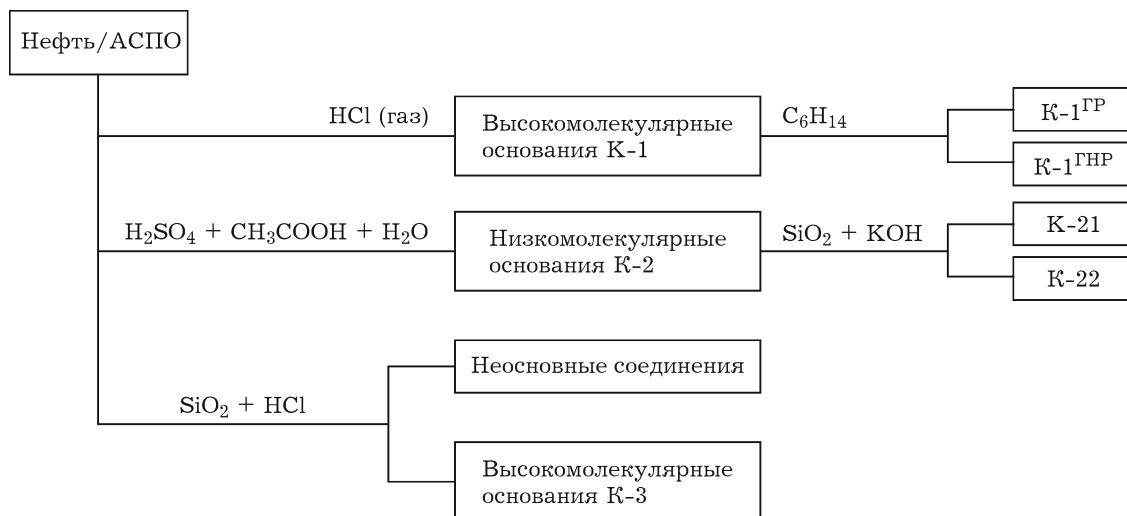


Рис. 1. Схема выделения и разделения азоторганических оснований.

цированном KOH, на азот- (K-21) и азоткислородсодержащие (K-22) структуры [8].

Анализ концентратов АО и продуктов их разделения выполнен с использованием оборудования Центра коллективного пользования Томского научного центра СО РАН.

Элементный состав образцов определяли с использованием CHNS-анализатора Vario EL Cube, величину  $N_{\text{осн}}$  — методом неводного потенциометрического титрования [10], средние молекулярные массы (ММ) — методом криоскопии в бензоле [11].

ИК-спектры получали на ИК-Фурье-спектрометре Nicolet 5700 в области 4000–400  $\text{cm}^{-1}$ . Образцы растворяли в  $\text{CCl}_4$ , наносили на пластиинки из KBr, полученные пленки высушивали.

$^1\text{H}$  ЯМР-спектры регистрировали на спектрометре ЯМР-Фурье Avance AV 300 фирмы Bruker при 300 МГц в растворах  $\text{CDCl}_3$ . Внутренний стандарт — тетраметилсиликон. По  $^1\text{H}$  ЯМР-спектрам рассчитывали относительное содержание протонов в различных структурных фрагментах, исходя из площадей пиков в соответствующих областях спектра, м. д.:  $H_{\text{ar}}$  (доля протонов, содержащихся в ароматических структурах) 6.6–8.5;  $H_{\alpha}$  (доля протонов у атомов углерода в  $\alpha$ -положении к ароматическим ядрам) 2.2–4.0;  $H_{\beta}$  и  $H_{\gamma}$  (доля протонов в метиленовых и в концевых метильных группах алифатических фрагментов молекул соответственно) 1.1–2.1, 0.3–1.1 соответственно.

Совокупность данных об элементном составе, средних молекулярных массах и распределении протонов в  $^1\text{H}$  ЯМР-спектрах образцов использована для расчета средних структурных параметров молекул АО по методикам, изложенным в [12, 13]. Определены следующие параметры: общее число ( $K_0$ ), число ароматических ( $K_a$ ) и нафтеновых циклов ( $K_h$ ) в средней молекуле, число атомов углерода в парафиновых структурных фрагментах сред-

ней молекулы ( $C_n$ ), количество атомов C, находящихся в не связанных с ароматическими ядрами терминальных метильных группах ( $C_r$ ).

Хромато-масс-спектрометрический (ГХ-МС) анализ АО осуществляли на DFS-приборе Thermo Scientific. В газовом хроматографе использовали кварцевую капиллярную колонку TR5MS длиной 30 м и внутренним диаметром 0.25 мм. Хроматографирование проводили в режиме программируенного подъема температуры от 80 до 300 °C со скоростью 4 °C/мин и затем в течение 30 мин при конечной температуре. Газ-носитель — гелий. Сканирование масс-спектров осуществлялось каждую секунду в диапазоне масс до 500 а. е. м. Результаты ХМС-анализа обрабатывали с помощью программы Xcalibur. Для идентификации индивидуальных соединений использовали данные [14, 15] и компьютерную библиотеку масс-спектров NIST 02. Относительную распространенность каждого отдельного соединения оценивали как отношение его содержания к суммарному содержанию всех идентифицированных соединений.

## РЕЗУЛЬТАТЫ И ОБСУЖДЕНИЕ

Как следует из данных табл. 2, нефть и полученное из нее АСПО слабо различаются по суммарному содержанию выделенных соединений (6.7 и 7.6 мас. % соответственно) и доле связанного с ними основного азота (65.7 и 61.0 отн. % соответственно), большая часть которого (57.2 и 55.8 отн. % для нефти и АСПО соответственно) входит в состав высокомолекулярных оснований K-1 и K-3. При этом в обоих случаях относительное содержание основного азота в K-1 меньше по сравнению с таковым в K-3. Такое различие связано со структурой высокомолекулярных АО.

ТАБЛИЦА 2

Распределение азоторганических оснований в нефти и асфальтосмолопарафиновом отложении

Образцы	ММ, а. е. м.		Выход, мас. %		Доля $N_{\text{осн}}$ , отн. %	
	Нефть	АСПО	Нефть	АСПО	Нефть	АСПО
K-1	836	793	0.7	0.8	24.8	9.2
K-2	354	365	0.1	0.2	8.5	5.2
K-3	907	868	5.9	6.6	32.4	46.6

Согласно применяемой методике [7], в виде нерастворимых в углеводородной среде хлористоводородных солей выделяются соединения, представленные полициклическими конденсированными структурами со слабо развитым алкильным замещением. Результаты дифференциации высокомолекулярных оснований К-1 нефти и АСПО на растворимые и не растворимые в гексане продукты показали, что они представлены смесью соединений с различной молекулярной массой. Преимущественно (61–76 отн. %) это не растворимые в гексане основания ( $K-1^{HNP}$ ), близкие по молекулярной массе (956 и 1243 а. е. м. для нефти и АСПО соответственно) к высокомолекулярным основаниям К-3 (907 и 868 а. е. м. соответственно). Растворимые в гексане компоненты ( $K-1^{GP}$ ) по средним ММ (484 и 538 а. е. м. соответственно) близки к низкомолекулярным АО, выделяемым методом кислотной экстракции (К-2, 354–365 а. е. м. соответственно). Сравнительные результаты выделения более алкилированных структур высокомолекулярных АО свидетельствуют о том, что доля оснований К-3 в составе АСПО выше по сравнению с их долей в нефти – 46.6 и 32.4 отн. % соответственно. Следовательно, в образовании АСПО преимущественно участвуют высокомолекулярные высокоалкилированные АО.

Этот вывод согласуется с данными СГА высокомолекулярных АО нефти и АСПО. Анализ рассчитанных значений основных структурных параметров молекул соединений К-3 и продуктов дифференциации соединений К-1

на растворимые и не растворимые в гексане компоненты показал, что средние молекулы соединений  $K-1^{GP}$ ,  $K-1^{HNP}$  и К-3 нефти и АСПО состоят из ароматических, нафтеновых и парафиновых структурных фрагментов (табл. 3). Наибольшей общей цикличностью ( $K_o$ ) характеризуются высокомолекулярные основания  $K-1^{HNP}$ . В полициклической системе их средних молекул больше ароматических ( $K_a$ ) и насыщенных ( $K_h$ ) колец, нежели в структуре средних молекул  $K-1^{HNP}$  и К-3. Средние молекулы высокомолекулярных оснований К-3 и более низкомолекулярных оснований  $K-1^{GP}$  сопоставимы между собой по параметрам  $K_o$ ,  $K_a$  и  $K_h$ . При этом во всех случаях насыщенные кольца преобладают над ароматическими. Средние молекулы оснований  $K-1^{HNP}$  также характеризуются наименьшим числом атомов углерода в алифатических фрагментах, которые представлены только метильными группами (3–5). Это следует из отношения общего числа алкильных углеродных атомов к числу атомов углерода в группах  $CH_3$ , удаленных от ароматических ядер ( $C_n/C_r$ ). Наиболее развитым алкильным замещением отличаются средние молекулы соединений К-3, в структуре которых возможно присутствие алкильных заместителей с числом углеродных атомов до 6–7. Наличие длинных алкильных заместителей в молекулах соединений К-3 подтверждается данными качественной ИК-спектроскопии. В ИК-спектрах этих образцов наблюдаются достаточно интенсивные полосы поглощения при  $722$ – $721\text{ cm}^{-1}$ , характерные

### ТАБЛИЦА 3

Расчетные значения важнейших структурных параметров молекул азоторганических оснований

Параметры	Нефть			АСПО		
	$K-1^{GP}$	$K-1^{HNP}$	К-3	$K-1^{GP}$	$K-1^{HNP}$	К-3
<b>Число алкильных атомов углерода:</b>						
$C_n$	10.0	4.5	31.5	10.1	3.0	29.5
$C_r$	3.0	4.5	4.6	2.8	3.0	5.0
<b>Кольцевой состав:</b>						
$K_o$	5.6	21.8	7.2	6.3	17.0	6.6
$K_a$	2.3	9.2	2.5	2.1	6.4	1.9
$K_h$	3.3	12.6	4.7	4.2	10.6	4.7

*Примечание.*  $K_o$ ,  $K_a$ ,  $K_h$  – общее число, число ароматических и нафтеновых циклов в средней молекуле соответственно;  $C_n$  – число атомов углерода в парафиновых структурных фрагментах средней молекулы;  $C_r$  – количество атомов С, находящихся в не связанных с ароматическими ядрами терминальных метильных группах.

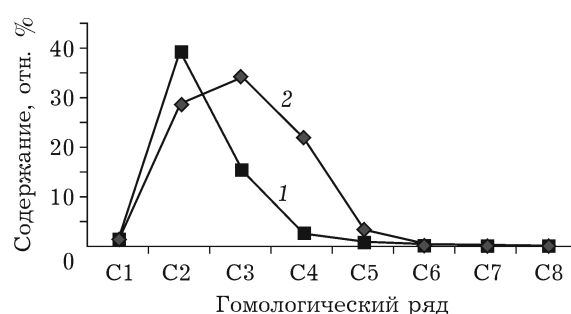
ТАБЛИЦА 4

Структурный состав азоторганических оснований К-1<sup>ГР</sup>

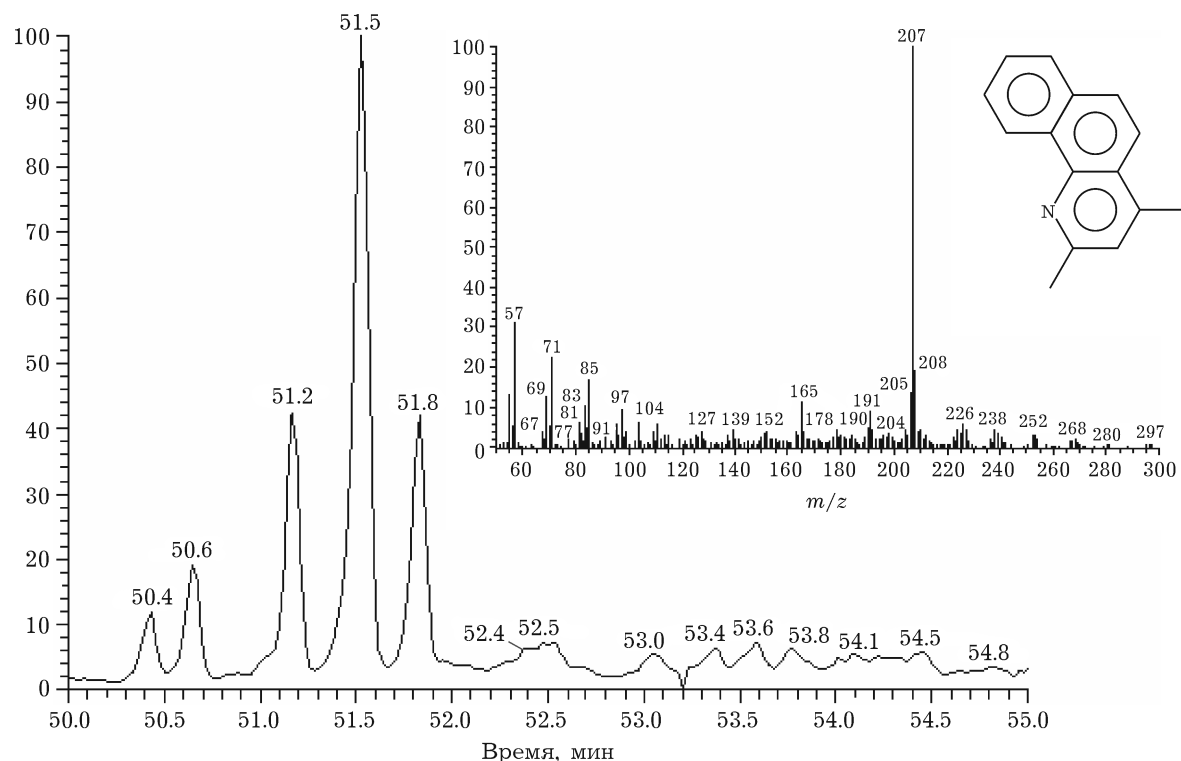
Соединения	Эмпирическая формула	Гомологи		Содержание, % относительно идентифицированных структур	
		Нефть	АСПО	Нефть	АСПО
Хинолины	C <sub>n</sub> H <sub>2n-11</sub> N	C <sub>4</sub> -C <sub>10</sub>	C <sub>6</sub> -C <sub>10</sub>	3.2	19.7
Бензохинолины	C <sub>n</sub> H <sub>2n-17</sub> N	C <sub>1</sub> -C <sub>8</sub>	C <sub>1</sub> -C <sub>8</sub>	90.8	61.5
Дибензохинолины	C <sub>n</sub> H <sub>2n-23</sub> N	C <sub>1</sub> -C <sub>7</sub>	C <sub>1</sub> -C <sub>7</sub>	2.6	7.6
Азапирены	C <sub>n</sub> H <sub>2n-21</sub> N	C <sub>3</sub> -C <sub>9</sub>	C <sub>3</sub> -C <sub>9</sub>	3.4	11.2

для алкильных фрагментов с числом углеродных атомов более 4. Средние молекулы оснований К-1<sup>ГР</sup> занимают промежуточное положение по значениям C<sub>п</sub> и по размерам заместителей (3–4 атома углерода).

При общих тенденциях в изменении структуры средних молекул оснований К-1<sup>ГР</sup>, К-1<sup>ГРН</sup> и К-3 нефти и АСПО средние молекулы высокомолекулярных оснований органического отложения характеризуются меньшим числом ароматических и насыщенных колец и меньшим количеством атомов углерода в алкильном замещении. Соединения К-1<sup>ГР</sup> АСПО и нефти по расчетным значениям K<sub>a</sub>, K<sub>h</sub>, C<sub>п</sub> и C<sub>т</sub> различаются несущественно.

Рис. 2. Распределение алкилбензохинолинов в К-1<sup>ГР</sup> АСПО (1) и нефти (2).

Структурное сходство оснований К-1<sup>ГР</sup> нефти и АСПО подтверждается результатами иссле-

Рис. 3. Масс-фрагментограмма C<sub>2</sub>-бензохинолина по иону m/z 207 в К-1<sup>ГР</sup> нефти и масс-спектр пика с временем удерживания 51.5 мин.

дования их индивидуального состава методом ГХ-МС. Среди оснований этих образцов присутствуют алкилпроизводные хинолина, бензохинолина, дibenзохинолина и азапирена с максимальным содержанием алкилбензохинолинов (табл. 4). Одноименные типы соединений характеризуются схожим молекулярно-массовым распределением.

В качестве примера на рис. 2 приведены кривые распределения алкилбензохинолинов в К-1<sup>ГР</sup> нефти и АСПО. Максимумы распределения в обоих случаях приходятся на гомологи C<sub>2</sub>-C<sub>3</sub>, в составе которых идентифицирован 2,4-диметилбензо(h)хинолин. На рис. 3 приведены масс-фрагментограмма C<sub>2</sub>-бензохинолина в К-1<sup>ГР</sup> нефти по иону *m/z* 207 и масс-спектр пика (время удерживания 51.5 мин), совпадающий с масс-спектром 2,4-диметилбензо(h)хинолина в компьютерной библиотеке масс-спектров NIST-02.

Основания К-2 представляют собой сложную смесь бензопроизводных пиридина, часть которых содержит в структуре карбоксильную группу. Об этом свидетельствует наличие в ИК-спектрах образцов полос поглощения, характерных для валентных колебаний связей C=N пиридинового кольца (1500–1580 см<sup>-1</sup>), связей C=C полициклической ароматической системы (1600 см<sup>-1</sup>) и валентных колебаний C=O (1720–1700 см<sup>-1</sup>) и OH (3271–3100 см<sup>-1</sup>) фрагментов кислотных функций [18]. В результате разделения К-2 на сорбенте, импрегнированном KOH, получены продукты К-21 и К-22. По данным ИК-спектроскопии, в составе соединений К-21 азотсодержащих кислот нет. Полосы поглощения, характерные для карбоксильных групп, проявляются только в ИК-спектрах соединений К-22, которые составляют большую часть оснований К-2 (60 и 66 % в К-2 нефти и АСПО соответственно). Следовательно, в формировании органического отложения участвуют, главным образом, низкомолекулярные полифункциональные основания.

## ЗАКЛЮЧЕНИЕ

Таким образом, установлено, что высокопарафинистая нефть и полученное из нее АСПО содержат высокомолекулярные азотор-

ганические основания с сильно и слабо развитым алкильным замещением, а также низкомолекулярные основания. В обоих образцах преобладают высокомолекулярные высокоалкилированные соединения, но в АСПО их доля выше, чем в нефти. Методом СГА установлено, что в средних молекулах высокомолекулярных оснований с сильно развитым алкильным замещением (C<sub>п</sub> = 29–32) может содержаться 2–3 ароматических и 4–5 насыщенных циклов. Слабоалкилированные (C<sub>п</sub> = 3–5) высокомолекулярные основания более цикличны за счет развития и ароматических (K<sub>a</sub> = 6–9), и насыщенных фрагментов (K<sub>н</sub> = 10–13). Алкильные заместители в структуре их средних молекул представлены только метильными группами. Среди низкомолекулярных оснований нефти и АСПО присутствуют алкилпроизводные хинолина, бензо-, дibenзохинолина и азапирена. Одноименные типы соединений имеют схожий характер молекулярно-массового распределения. Значительную роль в формировании органического отложения играют низкомолекулярные полифункциональные основания.

## СПИСОК ЛИТЕРАТУРЫ

- 1 Запивалов Н. П. // Георесурсы. 2002. № 1. С. 32–35.
- 2 Иванова Л. В., Буров Е. А., Кошелев В. Н. // Нефтегазовое дело. 2011. № 1. С. 268–284.
- 3 Герасимова Н. Н., Коваленко Е. Ю., Сагаченко Т. А. // Нефт. хоз-во. 1998. № 5. С. 59–61.
- 4 Сафиева Р. З. Химия нефти и газа. Нефтяные дисперсные системы: состав и свойства. Учеб. пособие. Ч. 1. М.: РГУ нефти и газа им. И. М. Губкина, 2004. 112 с.
- 5 Землянский Е. О., Гребнев А. Н., Гультьяев С. В. // Нефть и газ Западной Сибири: матер. междунар. науч.-техн. конф. Тюмень: ТюмГНГУ, 2005. Т. 1. 272 с.
- 6 Воронова О. С., Герасимова Н. Н., Цой Л. А., Сагаченко Т. А., Бейко О. А. // Нефтехимия. 1987. Т. 27, № 4. С. 447–454.
- 7 Коваленко Е. Ю., Герасимова Н. Н., Сагаченко Т. А., Голушкива Е. Б. // Химия и технология топлив и масел. 2001. № 4. С. 33–35.
- 8 Воронова О. С., Большаков Г. Ф., Бейко О. А., Туров Ю. П. // Нефтехимия. 1985. Т. 25, № 3. С. 349–359.
- 9 Безингер Н. Н., Гальперн Г. Д. // В сб.: Методы анализа органических соединений нефти, их смесей и производных / Отв. ред. Г. Д. Гальперн. М.: Изд-во АН СССР, 1960. С. 141–169.
- 10 Современные методы исследования нефти: спр.-метод. пособие / под ред. А. И. Богомолова, М. Б. Темянко, Л. И. Хотынцевой. Л.: Недра, 1984. 431 с.
- 11 Инструментальные методы исследования нефти / под ред. Г. В. Иванова. Новосибирск: Наука, 1987. 136 с.

- 12 Химический состав нефтий Западной Сибири / под ред. Г. Ф. Большакова. Новосибирск: Наука, 1988. 288 с.
- 13 Bakel A. J., Philp R. P. // Org. Geochem. 1990. Vol. 16, No. 1–3. P. 353–367.
- 14 Schmitter J. M., Arpino P. J. // Mass-Spectrometry Rev. 1985. No. 4. P. 87–121.

